

## 第1種複素積分の全域近似 ——母数が小正の場合——

八代 高専 久原秀夫 (Hideo Kuhara)

名大工 鳥居達生 (Tatsuji Torii)

名大工 杉浦洋 (Hirosi Sugiura)

1. まえがき.

複素平面上の不定積分

$$F(z, \kappa) = \int_0^z \frac{dz}{\sqrt{(1-z^2)(1-\kappa^2 z^2)}} \quad (1.1)$$

第1種不定全積分といふ.  $z = z$  実数  $\kappa \in (0, 1)$  の母数といふ.

問題. 母数  $\kappa$  が 0 に近い場合, 任意の  $z$  に対する  $F(z, \kappa)$  積分 (1.1) を求めよ.

母数  $\kappa$  が 1 に近い場合は, 上昇 Landen 変換によつて  
積分 (1.1) を求めることは, 解決されて <sup>8)</sup> いる. 本問題が解けると任意の実母数  $\kappa \in (0, 1)$  に対する (1.1) の  
積分則が得られる  $F(z, \kappa) = F(z, 1) + \dots$ .

第1種実積分

$$F(\varphi, k) = \int_0^\varphi \frac{d\theta}{\sqrt{1 - k^2 \sin^2 \theta}}$$

の算法<sup>(Y12)</sup>、教科書公式 I (森口, 宮田川), 一松 p.145) に因襲する  
変数変換が記述されてる。この図書目次にも名前変換と記す。

$$\sin \gamma = \frac{(1+k) \sin \varphi}{1 + k \sin^2 \varphi}$$

があり<sup>1)</sup>。他方 Byrd の著書 (2), pp.39-40) では, Gauss の名前  
冠せられてる。

われわれは,  $z = \sin \varphi$ ,  $w = \sin \gamma$  を用い, 複素平  
面上拡張する。

$$w = \frac{(1+k) z}{1 + k z^2} \quad (1.2)$$

で, Gauss 変換とよぶ, これを用いることをす。

後の都合上記号を約束しておく。

補助数;  $k' = \sqrt{1 - k^2}$

完全積分積分;  $K = K(k) = F(1, k)$   
;  $K' = K(k') = F(1, k')$

Joukowski 変換;  
 $w = J(z) = \frac{1}{2} (z + z')$

この逆関数の Riemann 面は, 2枚であるが, その面  
の単位円の外部が  $w$ -平面の一枚に対応するよう 12 上

の逆変換を次のように定義する

逆 Joukowski 変換；

$$z = J^{-1}(w) = \frac{1 + \sqrt{\frac{w-1}{w+1}}}{1 - \sqrt{\frac{w-1}{w+1}}}$$

ただし複素数の平方根は、正の実軸上で正の値となる分枝をとるものとする。

II, 再び Gauss 変換 (1.2) 1=立つ通り, これと Joukowski 変換の関係をみることにする。明らかに (1.2) は

$$w = \frac{1}{2} \left( \sqrt{z} + \frac{1}{\sqrt{z}} \right) \cdot \frac{z}{\sqrt{z} + \frac{1}{\sqrt{z}}} \quad (1.3)$$

と書き表わせよう。

Joukowski 変換  $w = J(z)$  は,  $w$ -平面のスリット  $[-1, 1]$  を除く全平面を単位円の外部に写すが, この事実を端的に, スリット  $[-1, 1]$  を円に開くこと。ついでながら, 変換  $w = 1/J(z')$  は,  $w$ -平面からスリット  $[1, \infty]$ ,  $[-1, -\infty]$  を除く領域を,  $z$ -平面の単位円の内部に写す。

こりこりを無限長スリット  $[+1, \infty, -1]$  ( $[1, \infty]$ ,  $[-1, \infty]$  を  $\infty$  真で連結したもの) を単位円に開くこと。

Joukowski 変換  $w = J(z)$  では, 見得上  $J(z) = J(z')$

“あるが”， $[-1, 1]$  が連結された 2 枚の  $w$ -平面と， $z$ -平面は  $J(z)$  が 1 对応するから，Riemann 面 2 個を 1 つうば， $J(z)$  が  $w$ -平面の 1 枚と対応するならば， $J(z')$  は他方の面と対応する。 $= = 1$ ， $z + z' = \frac{1}{2}(z + z')$  は  $J(z)$  上書き意味がある。

22, Gauss 変換 (1.3) 12

$$w = J\left(\frac{1}{\sqrt{k}}\right) / J\left(\frac{1}{\sqrt{k}z}\right) \quad (1.4)$$

（書き込み），便宜上

$$h = 1 / J\left(\frac{1}{\sqrt{k}}\right) \quad (1.5)$$

（かけは）， $w$ -平面の無限長ストレット  $[-h^{-1}, \infty, h^{-1}]$  は半径  $1/\sqrt{k}$  の円  $|z| = h < z = 1$  には

④  $h$  の積分

$$F(w, h) = \int_0^w \frac{dw}{\sqrt{(1-w^2)(1-h^2w^2)}}$$

$h$  に対し，変数変換 (1.4) を用いては

$$F(w, h) = (1/h) F(z, k) \quad (1.6)$$

が成立す。

④  $h$  の定義 (1.5) によると  $h > k$  となるが，上式を

$w$ -平面から  $z$ -平面への移行とすれば、それは下降 Gauss 变換となる。このとき母数は、(1.5)を  $k=1$  で解く

$$k = 1 / (J^{-1}(z'))^2 = \frac{1-h'}{1+h'} \quad (1.7)$$

$= (z')$ 。

いま、目的は  $F(z, k)$  を求めることであるから、これを上述の  $F(w, 1)$  と見なし、下降 Gauss 变換を繰り返し行なうとする。

初期値

$$k_0 = 1$$

$$z_0 = z$$

漸化式

$$k_{n+1} = (1 - k_n') / (1 + k_n') \quad (1.8)$$

$$z_{n+1} = \frac{1}{\sqrt{k_{n+1}} J^{-1}\left(\frac{1}{k_n} z_n\right)}$$

$$n = 0, 1, 2, \dots$$

Gauss 变換によって積分積分の関係式 (1.6) が

$$\bar{F}(z, k) = F(z_0, k_0) = \prod_{j=1}^n (1 + k_j) F(z_n, k_n) \quad (1.9)$$

が得られる。

也す  $k_n$  は、単調減少で  $0 = 2\pi$  に収束する。また  $F(z, 0)$  は、逆三角関数に退化する ( $z'$ , (1.9) にみる  $z$  の互換) が大きければ、目的の積分の近似が得られる。

これらは、以上の見通しの下で、不定積分  $F(z_n, \kappa_n)$  を定積分表示し、これを Gauss-Chebyshev 则によじて数値積分し、より精密な結果が得られることを示す。

## 2. 不定積分の定積分表示

前節に述べた、不完全積分積分  $F(z, \kappa)$  に対して、Gauss 変換を行なうための複素変換を行なったが、これは、無限長スリット  $[-\kappa^*, \infty, -\kappa^*]$  を半径  $\sqrt{\kappa}$  の円に向かって変換したもの。  
 $\zeta = 3z^*$ 、 $F(z, \kappa)$  の被積分関数のスリット上、 $[1, z^*]$ 、 $[-\kappa^*, -1]$  である。Gauss 変換を無条件に適用してよい。  
 $\zeta = z^*$ 、 $F(z, \kappa)$  の被積分関数は見掛け上虚数  $-i$  を掛けた形の

$$\tilde{F}(z, \kappa) = \int_{0+0i}^z \frac{dz}{\sqrt{(z^2-1)(1-\kappa^2 z^2)}} \quad (2.1)$$

である。この被積分関数のスリットは  $[-1, 1] \times [z^*, \infty, -z^*]$  である。平方根の分歧は  $[1, z^*]^2$ 、正の実部値をとるところを選ぶ。これは式(1.8)に対する Gauss 変換を繰返したもので、関係式(4.9)はまた  $F(z, \kappa)$  と  $\tilde{F}(z, \kappa)$  の直交換式が成立する。

$$\hat{F}(z_0, \kappa_0) = \prod_{j=1}^n (1 + \kappa_j) \tilde{F}(z_n, \kappa_n). \quad (2.2)$$

このとき  $z_0 = 1$  とすれば、1つ Gauss 変換によじて

で不変なの?"

$$\prod_{j=1}^n (1 + \kappa_j) = \frac{k_0}{k_n} \quad (2.3)$$

$$t=2\pi i \quad K_n = K(k_n), \quad K'_n = K(k'_n)$$

が成り立つ。また  $|K_n| \neq 0$  は収束するの?"、 $K_n$  の極限値は  $\pi/2$  か  $\pi/3$ 。この  $=$  は注意されば,"

$$\lim_{n \rightarrow \infty} \prod_{j=1}^n (1 + \kappa_j) = \frac{2}{\pi} k_0 \quad (2.4)$$

が得られる。

之2、本節の主題である不定積分 (2.1) の定積分表示について述べる。(2.1) によると、原点と実軸を結ぶ積分路が、被積分関数の  $\Rightarrow$  のスリット  $[-1, 1], [1, \infty, -1]$  あることは、これが一元を回る毎に  $\tilde{F}(z, \kappa)$  に多価性が現れるの?"、これを避けるために原点から負の虚軸に沿ってカットを入れる。 $\tilde{F}(z, \kappa)$  の被積分関数を一旦 Cauchy の積分表示する。積分路は 図1 のようになる。

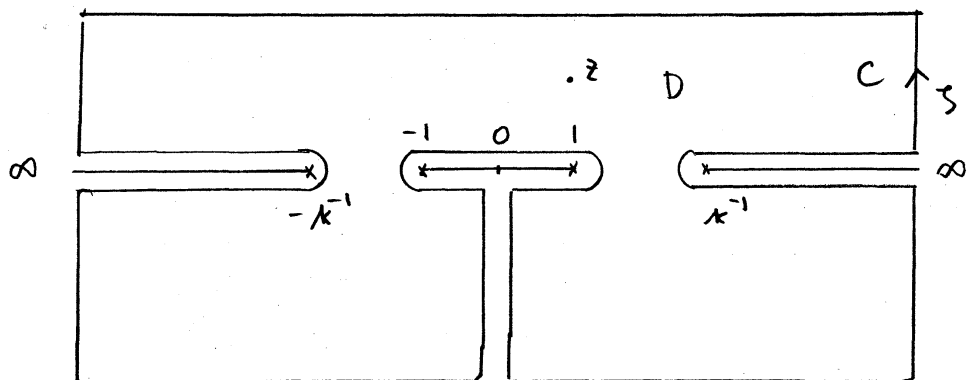


図1

まとめ

$$\frac{1}{\sqrt{(z^2-1)(1-\kappa^2 z^2)}} = \frac{1}{2\pi i} \int_C \frac{ds}{(s-z)\sqrt{(s^2-1)(1-\kappa^2 s^2)}} \quad (2.5)$$

両辺を積分する。誤解のないように “ $\int_C$ ” と思って “ $\int$ ”，積分の上端も  $\infty$  を用いる。左辺は定義によつて  $\tilde{F}(z, \kappa)$  である。右辺は、積分順序を交換し、被積分関数は無限遠点の近傍で  $O(s^{-3})$  であることを注意し、積分路  $C$  をスリット  $[-1, 1]$ ,  $[1, \infty, -1]$  に十分接近させ  $s = z + \delta$  )

$$\begin{aligned} \tilde{F}(z, \kappa) &= \frac{1}{\pi} \int_{-1}^1 \frac{-1}{\sqrt{(1-x^2)(1-\kappa^2 x^2)}} \log \frac{x}{x-z} dx \\ &\quad + \frac{1}{\pi} \int_{|x|>1/\kappa} \frac{1}{\sqrt{(x^2-1)(\kappa^2 x^2-1)}} \log \frac{x}{x-z} dx \end{aligned} \quad (2.6)$$

が得られる。ここで、(2.5) の右辺の被積分関数は  $[-1, 1]$ ,  $[1, \infty, -1]$  の上岸, 下岸の行うを異にするので、上岸だけの積分で表わした。上式右辺の対称関数は  $x$  を変数とみなし、 $x$ -平面でのカット ( $x=+0$  と  $x=-z$  を結ぶ曲線) は、積分路と交わらないように  $|z|>1$  のものとする。

さて、 $\tilde{F}(z, \kappa)$  は、下記 Gauss 変換を多回ほどこなすと  $\kappa$  は、十分小さく  $< 1/3$  のとき、 $\tilde{F}(z, \kappa)$  の値は  $\approx 120$  に近いと仮定 (一般性を失なわせない)。

定積分 (2.6) の被積分関数の特異点は、 $\pm 1, \pm \kappa^{-1}$  が 1 位の分歧点で、~~真~~ 2 が対称特異点である。~~水が十分小さ~~  
 とき、右辺の積分は、~~第一項が主要部となる~~。したがって、  
 真~~2~~が積分区间  $[-1, 1]$  から離れておれば、右辺第 1 項の積  
 分は Gauss-Chubyshev 則~~の効果的に~~ ~~しかれながら~~ ある~~真~~  
 は、一般にはスリット  $[-1, 1], [1, \infty, -1]$  上接続する =  $\infty$   
 もある~~2~~、この場合の対称を考慮しておけば~~はうす~~。

$z = 2$ 、前~~べ~~不定積分  $\tilde{F}(w, \kappa)$  はつづくと  $[1, 1]$   
 近傍の  $w$  を離せばよ~~う~~う~~2~~、Jankowski 変換  $w = J(z)$   
 は~~る~~変数変換する。計算は~~よ~~

$$\begin{aligned}\tilde{F}(w, \kappa) &= \int_0^w \frac{dw}{\sqrt{(w^2-1)(1-\kappa^2 w^2)}} \\ &= \frac{2}{\kappa} \int_1^2 \frac{dz}{\sqrt{(z^2-1)(\kappa^{-1}-z^2)}} \quad (2.7)\end{aligned}$$

と表わされる。 $w - \bar{\gamma}$  面の原点は、 $z - \bar{\gamma}$  面の  $\bar{\lambda}$  に対応する  
 ことを注意。また  $\kappa_1 = (1-\kappa') / (1+\kappa')$ 。

前~~べ~~、不定積分 (2.7) の定積分表示はつづくと  $\infty$ 。前~~べ~~  
 同様に Cauchy の積分表示を用いて (2.7) の定積分表示

$$\begin{aligned}\tilde{F}(w, \kappa) &= \frac{2}{\kappa} \cdot \frac{1}{\pi} \int_{-\sqrt{\kappa}}^{\sqrt{\kappa}} \frac{-1}{\sqrt{(1-x^2)(\kappa^{-1}-x^2)}} \log \frac{x-\bar{\lambda}}{x-\bar{\gamma}} dx \\ &\quad + \frac{2}{\kappa} \cdot \frac{1}{\pi} \int_{|x| > \sqrt{\kappa}} \frac{1}{\sqrt{(x^2-1)(x^2-\kappa^{-1})}} \log \frac{x-\bar{\lambda}}{x-\bar{\gamma}} dx \quad (2.8)\end{aligned}$$

が得られる。積分区间は  $\Rightarrow$  上に分かれますが、変数変換  
 $x = 1/y = \frac{1}{z} > 0$ , 一方で他方に帰着する。

$\pm i\sqrt{\kappa_1}$  は被積分函数の根号内の函数が偶函数であることを注意すれば、実軸上の  $\Rightarrow$  の積分区间  $[-\infty, -\sqrt{\kappa_1}], [\sqrt{\kappa_1}, \infty]$  は後者だけはまとめて  $\Rightarrow$  となる。

$$\tilde{F}(w, \kappa) = \frac{2}{\pi} \cdot \frac{1}{\kappa} \int_{-\sqrt{\kappa_1}}^{\infty} \frac{1}{\sqrt{(x^2 - \kappa_1)(x^2 - \kappa_1^{-1})}} \log \frac{1-x^2 z^2}{x^2 - z^2} dx \\ z = J^{-1}(w) \quad (2.9)$$

と表わされる。対数函数  $\log(1-x^2 z^2)/(x^2 - z^2)$  の実部をとれば、 $x$  が実軸上にある限り単位円周上  $\Rightarrow 0$  となる。 $\Rightarrow$  意味で単位円周上  $\Rightarrow$  Green 定理  $\Rightarrow$  (5)。

上の半無限積分による  $\Rightarrow$  積分変数  $x$  を  $1/x$  に置けば、有限区间上の積分と  $\Rightarrow$  も表わせる。

$$\tilde{F}(w, \kappa) = \frac{2}{\pi} \cdot \frac{1}{\kappa} \int_0^{\sqrt{\kappa_1}} \frac{1}{\sqrt{(\kappa_1 - x^2)(\kappa_1^{-1} - x^2)}} \log \frac{x^2 - z^2}{1 - z^2 x^2} dx \\ (2.10)$$

被積分函数の特異点は、今収束が4個、 $\pm \sqrt{\kappa_1}, \pm \sqrt{\kappa_1^{-1}}$ 、対称特異点  $\pm z, \pm 1/z$  があり。被積分函数は偶函数であるから、積分区间を原点対称に、すなはち  $[-\sqrt{\kappa_1}, \sqrt{\kappa_1}]$  と  $\Rightarrow$  、この区间上の Gauss-Chebyshev 则を用いる。この数值積分則の有効性を次節で明らかにする。

## 3. Gauss-Chebyshev 則の収束性

不定積分

$$\tilde{F}(z, \kappa) = \int_0^z \frac{dt}{\sqrt{(t^2-1)(1-\kappa^2 t^2)}}, \quad \operatorname{Re} z > 0$$

$l=z$ ,  $z_0=z$ ,  $\kappa_0=\kappa$  とする, 下降 Gauss 変換を  $n$  回  
 行なう =  $l$  た後, Joukowski 変換を行なうは " (1.8), (1.9) 及  
 (2.7) より

$$\tilde{F}(z_0, \kappa_0) = \prod_{j=1}^n (1 + \kappa_j) \cdot \tilde{F}(z_n, \kappa_n) \quad (3.1)$$

$$\tilde{F}(z_n, \kappa_n) = \frac{2}{\kappa_n} \int_1^t \frac{dt}{\sqrt{(t^2 - \kappa_{n+1}^{-1})(\kappa_{n+1}^{-1} - t^2)}}. \quad (3.2)$$

最後の積分を実軸上の定積分で表わせば" (2.10) より

$$\tilde{F}(z_n, \kappa_n) = \frac{1}{\pi \kappa_n} \int_{-\sqrt{\kappa_{n+1}}}^{\sqrt{\kappa_{n+1}}} \frac{1}{\sqrt{(\kappa_{n+1}-x^2)(\kappa_{n+1}^{-1}-x^2)}} \log \frac{x^2-t^2}{1-x^2 t^2} dx \\ \operatorname{Re} t \geq 0 \quad (3.3)$$

と T83. これが前節までの結果の要約である.

与えられた  $z_0$ -平面は多數回の下降 Gauss 変換を経て、  
 最後に 1 回 Joukowski 変換を受け  $t$ -平面の  $\infty$  領域に  
 射される =  $t = Tz_0$ . これが像と少しづらへる.  
 また、十分多數回 Gauss 変換をほどこしたとき漸近的  
 傾向を把握しよう.  $z_0$ -平面から並進長さ  $\rightarrow$   $[k_0^{-1}, \infty, -k_0^{-1}]$  と  
 降く領域は、等高線

$$L_0 : \operatorname{Re} \tilde{F}(z_0, k_0) = \operatorname{Re} \tilde{F}(k'_0, k_0) = k'_0 \quad (3.4)$$

このまわる領域に他なし。この曲線（実はスリット）は下の Gauss 変換の過程で、いかなる曲線も等しくある。

n 回の変換を経た後  $\tilde{F}(z_0, k_0) \approx \tilde{F}(z_n, k_n)$  の関係式 (2.2), (2.3) より

$$\operatorname{Re} \tilde{F}(z_0, k_0) = \operatorname{Re} \left\{ \frac{k_0}{k_n} \tilde{F}(z_n, k_n) \right\}$$

が満たされなければならぬ。したがって等高線 (3.4) の像曲線は

$$L_n : \operatorname{Re} \tilde{F}(z_n, k_n) = \frac{k_n}{k_0} \cdot k'_0 \quad (3.5)$$

を表すもの。 $n \rightarrow \infty$  のとき,  $\{k_n\}$  は 0 に 2 次収束する。また  $K(0) = \pi/2$  を用いるとき,  $L_n$  の極限  $L_\infty$  は,  $z_\infty - \bar{\gamma}$  平面上の梢円

$$L_\infty : \operatorname{Re} \int_0^{z_\infty} \frac{dz}{\sqrt{z^2 - 1}} = \frac{\pi}{2} \frac{k'_0}{k_0} \quad (3.6)$$

である。すなはち Joukowski 変換  $z = J(t)$  では、 $z_\infty - \bar{\gamma}$  平面上の梢円  $L_\infty$  は,  $t - \bar{\gamma}$  平面上の円

$$C_0 : \operatorname{Re} \log t = \frac{\pi i}{2} \cdot \frac{k'_0}{k_0}$$

$$\text{より} \quad |t| = e^{\pi k'_0 / 2 k_0}$$

と 3.

次に  $z_n$ -平面のスリット  $[-1, 1]$

は、 $z_n = J(t)$  は  $t$  単位円上に開かれた。これは  $t$  の事実  
から  $t$  で  $z = z_0$ -平面は、最終的に  $t$ -平面の円環領域

域

$$\{t\} : 1 \leq |t| \leq e^{\pi K_0' / 2K_0} \quad (3.7)$$

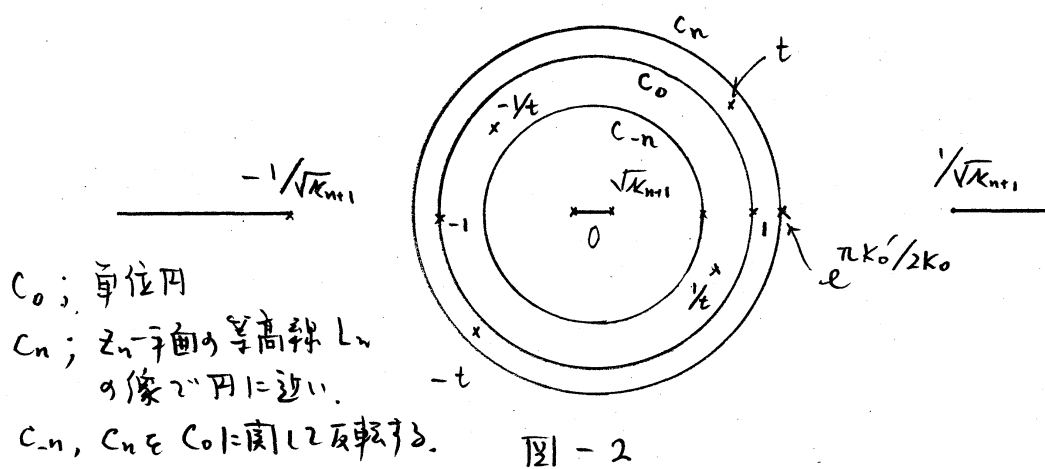
で与えられる。

下降 Gauss 戻挿を  $n$  回実行すれば、 $z_n$ -平面の曲線  
 $L_n$  は、稍円  $L_\infty$  の構造を受けたものとみなされる。これは  
ともに  $t$ -平面の円環領域 (3.7) の外周は僅かに変形する。

原点近傍は短いスリット  $[-\sqrt{k_{n+1}}, \sqrt{k_{n+1}}]$ 、無限遠点近傍  
 $= [\sqrt{k_{n+1}}, \infty, -\sqrt{k_{n+1}}]$  が現れる。

$t$ -平面で記述された  $\tilde{F}(z_n, k_n) = \tilde{F}(J(t), k_n)$  の計算  
法 (1.2), 不定積分 (3.2) の被積分関数を原点圆 (2"

Laurent 級数展開) の方法も有力な方法と称之为するが、  
われわれは定積分表示 (3.3) を用いる。この被積分関数の特  
異点は、1 位の代数的特異点  $\pm \sqrt{k_{n+1}}, \pm \sqrt[4]{k_{n+1}}$ , 对数  
特異点  $\pm t, \pm 1/t$  である。積分区間の端点の特異点は、  
数値積分法 (1.2) Gauss-Chebyshev 法を用いることによ  
り解消される。積分区間と特異点の位置関係を図 2 に示  
す。  $t$  が円環領域 (3.7) を動くとき  $1/t$  は、 $t$  の単位円上  
で反転する。



積分区间に最も近い特異点は、 $\pm 1/t$  の对数特異点である。これが Gauss-Chebyshev 则の精度を支配する。 $t = T_3$ 。区间  $[-\sqrt{k_{n+1}}, \sqrt{k_{n+1}}] \subset [-1, 1]$  に標準化すると、定積分 (3.3) は  $2 \cdot 11.2 \quad x = \sqrt{k_{n+1}} s$  と変数変換すれば、これは

$$\tilde{F}(z_n, k_0) = \frac{\sqrt{k_1}}{\pi k_0} \int_{-1}^1 \frac{1}{\sqrt{(1-s^2)(1-k_1^2 s^2)}} \log \frac{k_1 s^2 + t^2}{1 - k_1^2 s^2} ds \quad (3.8)$$

$$z_n = J(t), \quad k_1 = k_{n+1}, \quad k_0 = k_n$$

$t = T_3$ 。被積分関数は偶関数であるから  $2N$  真 Gauss-Chebyshev 则は、実質  $N$  真則である。上式は  $2N$  真則を適用したときの誤差は、次のようになる。<sup>3)</sup>

$$\text{積分 (3.8) の } 2N \text{ 真則誤差} = \frac{1}{2\pi i} \int_C \frac{T_{2N}(s)}{T_{2N}(s)} \frac{1}{\sqrt{1 - k_1^2 s^2}} \log \frac{k_1 s^2 + t^2}{1 - k_1^2 s^2} ds \quad (3.9)$$

$C$ ;  $[-1, 1]$  を除く、かゝる被積分関数の正則領域内の任意の閉曲線。

$\bar{U}_k(x)$ ;  $T_k(x)$  は対称 & 不対称 2 種 Chebyshev 関数.

この誤差の主要部を評価しよう.

$\bar{U}_{2N}(s)$  &  $T_{2N}(s)$  の複素表示しよう

$$\bar{U}_{2N}(s) = \frac{\pi}{\sqrt{s^2 - 1}} (s + \sqrt{s^2 - 1})^{-2N}$$

$$T_{2N}(s) = \frac{1}{2} \left\{ (s + \sqrt{s^2 - 1})^{2N} + (s - \sqrt{s^2 - 1})^{-2N} \right\}$$

ここで  $s = 3$  の積分区間は最も近い特異点は  $\pm 1/\sqrt{k_1} + i\infty$  である, 積分路  $C_s$ , 途中に並行な  $s = \tau$  はよい

$$\bar{U}_{2N}(s) \approx 2^{-2N} s^{-2N-1}, \quad T_{2N}(s) \approx 2^{2N-1} s^{2N}$$

また対数関数の Taylor 展開

$$\log(1 - k_1 t^2 s^2) = \sum_{\ell=1}^{\infty} \frac{(k_1 t^2)^{\ell}}{\ell} s^{2\ell}$$

注意すべきは

$$\text{積分 (3.9)} \simeq \frac{\pi}{\sqrt{1 - k_1 t^2}} \cdot \frac{(k_1 t^2)^{2N}}{2N} \cdot 2^{-4N+1} \quad (3.10)$$

(\*) の略号  $k_0, k_1, \varepsilon$  で  $k_1 \approx k_n, k_{n+1} \approx 3, k_n$  など十分  $0$  に近づけられてい

$$k_{n+1} \approx \frac{1}{4} k_n^2, \quad k_n \approx 4 \cdot \left(\frac{k_0}{4}\right)^{2^n}, \quad n \geq 1$$

変数  $t$  は、最終的に内環領域 (3.7) の内にありえ

$\tilde{F}(z, k_0)$  の誤差は, (2.2), (3.8), (3.10) たり

$$\begin{aligned}\Delta_N^n &\simeq \frac{k_0}{2K_n N} \left( k_{n+1} \bar{g}'_0 \right)^{2N} 2^{-4N} \\ &\simeq \frac{k_0}{2K_n N} \cdot \bar{g}^{-2N} \cdot \left( \frac{k_0}{4} \right)^{N^2 n+2} \quad (3.11) \\ T = z^n \quad g &= e^{-\pi k_0'/k_0} \quad \left( = \max_t |t^z| \right)\end{aligned}$$

(つづいて), 本方法は, 第 1 種不完全複素積分積分法と  
全く同じ一様近似となる.

誤差は, (実質) 標本数  $N$  の指數関数, Gauss 变換の回数  $n$   
の 2 重指數関数  $\underbrace{\text{であり, それ}}_{\text{に依存して減少する.}} \rightarrow$  に依存して減少する. 計算の手間を平方根  
と対数関数の評価で測れば"次のようになる".

Gauss 变換  $n$  回      平方根  $n$  回.

Joukowski 变換      平方根 1 回.

$2N$  回 Gauss-Chelyshev 则 対数関数  $N$  回評価.

平方根と対数関数も手間は同じとすれば, 平方根は計算上  
2, 全体の手間は

$N+n+1$  回 (複素平方根換算)

と TS3. 一定の手間で, 誤差を最小化 (たゞ  $n$  は),  $\Delta_N^n$  は  
二重指數関数的であるから, 積分則と 1 つは 2 重則 (実質 1  
重則) を用いる  $= 2 \log 3$ . 実際, 計算例から少々多く,  
 $2 \log 2$  位位で行なう.

因子は、母数が大さの場合の算法と(2)上昇 Landen 变換  $n$  回、1 矢則を用い<sup>4)</sup>る算法の場合は、平方根換算  $n+2$  回、前述の方法と一緒にす。母数と補母数を交換して精度を比較するならば、両者並肩である。

積分の最大誤差は、七一面面で表すならば、環状領域の外周で発生する。これを元の七一面面で表すならば、又) ツット  $[1, \infty, -1]$  に対応する。スリット  $[-1, 1]$  は、七一面面の単位円周(環状領域の中心部)に対応するので、教値積分割の精度はよい。すなはち七一面面の原矢近似は、(2)に精度よく計算すれば  $= 3$  となる。

積分  $F(z, \kappa)$  は、実軸と原点に開いた棒からなる  $\Gamma$  上で 1 極限だけに限定(2)よい。つまり、いま求めた  $\tilde{F}(z, \kappa)$  から直ちに目的の積分

$$F(z, \kappa) = \lambda \tilde{F}(z, \kappa) \quad (3.12)$$

が求まる。

本方法は、積分  $F(z, \kappa)$  に対する全域近似  $= \Gamma$ , 2..3..を述べたが、そのための  $\Gamma$  は積分 (3.3) のときの領域と明確に限定しなければならない。換言すれば、Gauss 变換の過程で、最初のスリット  $[1, \infty, -1]$  の像曲線  $L_n$  の連結である。

ここでは、3 の漸近的弓曲線が  $1, -1$  を通じて  $\Gamma$  の積分 (3.6) と、今後  $\Gamma$  に用いた。曲線  $L_n$  の解析は省略する。

4. 計算法の実用と計算例.

第1種不定積分  $F(z, \kappa)$  を求めよ. 本方法は、それが少々の場合に適用されず  $\kappa < \sqrt{z}$  である.  $z$  は第1象限で  $z$ -軸一般性を失わない.

算法は三段階に分けよ.

1).  $z, \kappa$  を初期値で(2)下降 Gauss 変換 (1.8) を  $n$  回行なう.

2) Joukowski 変換を1回行ない定積分表示 (3.3) を得る.

3) (3.3) は  $L$  区間  $[-\sqrt{\kappa_{nn}}, \sqrt{\kappa_{nn}}]$  の  $2N$  真(実数  $N$  真) Gauss-Chebyshev 型を適用して  $\tilde{F}(z_n, \kappa_n)$  を求めよ. 次に (3.1), (3.12) を用いよ.

单精度(絶対精度  $10^{-7}$ ), 倍精度( $10^{-14}$ )で計算するため  $L=12$ , 前者の場合  $n=2, N=1$ , 後者の場合  $n=3, N=1$  あるう  $n=2, N=2$  とすればよい.

数值例. 上昇 Landen 変換と比較してまとめてテストの標本  
表は同じく(た). すなわち  $\ell_1, 12$ , 区間  $[0, 1]$  を 100 等分し  
 $z$  の絶対値最大誤差,  $\ell_2$  は  $[1, \sqrt{\kappa}]$  を 200 等分(この場合,  
 $\ell_3$  は, 第1象限で  $z=re^{i\theta}, r=8^k, k=-22, -21, \dots,$   
 $0, 1, \dots, 22, \theta=m\pi/100, m=0, 1, \dots, 50$  を離散化した場合

の誤差である。

表 1

k**2= 1/64			
n	N	e1	e2
1	1	9.42D-13	3.34D-07
1	2	8.33D-16	1.11D-13
1	3	7.22D-16	1.73D-15
2	1	8.76D-16	1.79D-15
k**2= 1/2			
n	N	e1	e2
1	1	4.15D-06	8.50D-04
1	2	7.23D-12	6.13D-07
1	3	9.05D-16	5.89D-10
1	4	1.12D-15	6.36D-13
1	5	1.34D-15	3.02D-15
2	1	1.44D-11	2.96D-09
2	2	9.03D-16	2.23D-15
3	1	1.33D-15	2.92D-15
k**2=63/64			
n	N	e1	e2
1	1	9.54D-03	6.07D-02
1	2	1.45D-05	1.66D-03
1	3	4.66D-08	5.94D-05
1	4	1.05D-10	2.39D-06
1	5	4.15D-13	1.03D-07
1	6	2.90D-15	4.60D-09
2	1	2.47D-05	1.88D-04
2	2	1.37D-10	1.61D-08
2	3	3.57D-15	1.83D-12
2	4	2.91D-15	5.43D-14
3	1	2.75D-10	2.08D-09
3	2	2.46D-15	5.35D-14
4	1	3.78D-15	5.61D-14

## 5. まとめ

この計算結果から  
以下のことがわかる。

① もとが小さい程  
精度がよい。もとが

大きい場合, たとえば

$$\kappa = \sqrt{63}/8 \approx \pm 2^{\circ}$$

Gauss 变換を 4 回行

すれば 3 位精度の結果

が得られる。

一般に  $e_1, e_2, e_3$

$|e_1| = e_2 \approx 2 + \text{小小}$

全域近似が成立す

る。

標本数 N を増すよ

う) Gauss 变換の回数

n を増すが効果的

である。

本方法と上界 Landen 变換<sup>4)</sup>と併用すれば、任意の範囲  
で任意の複素数の積分  $F(z, \kappa)$  の評価が可能となる。

## 参考 文献

- 1) 森口繁一, 宇田川鉢久, 一恵信: 教序公式工, 岩波全書 (1956)
- 2) Byrd, P. F. and Friedman, M. D.: Handbook of Elliptic Integrals for Engineers and Physicists, Springer-Verlag, Berlin (1954).
- 3) 森正式: 数値解析と複素函数論, 講談書房 (1975).
- 4) 久原秀夫, 鳥凡憲生, 杉浦洋: 第1種不完全複素積分の全域への一様近似, 情報処理学会, 数値解析研究会資料 (1983. 10. 1).
- 5) 久原秀夫: スリット境界領域のグリーン関数・ノイマン関数とその応用, 電気学会, 電磁界理論研究会資料 (EMT-83-14), (1983. 4. 23).